

シンウォール・サンプリング試料を用いた室内バーンせん断試験

福山大学 工学部 正 平川 修治

福山大学 工学部 正 西原 晃

福山大学 大学院 学 松浦 勝也

1. はじめに

バーン試験は、サンプリング時や成形時における試料の乱れや応力解放の影響を受けないため、原位置強度を測定する簡便な方法として広く用いられているが、1)せん断速度の影響、2)非排水せん断強度の異方性の影響を強く受けるという問題点も指摘されている¹⁾。これらの影響を調べるには、バーンの回転速度やバーンの羽根の寸法を変えて試験を行えばよいが、原位置でこれらの試験を実施するのは経済的・時間的制約があり困難である。そこで本研究では、せん断速度および異方性の影響を室内で簡単に測定するために、シンウォール・サンプリング試料を用いた室内小型バーン試験機を製作し実験を行った。また、室内バーン試験の結果を検討するために、原位置バーン試験を実施し、室内バーン試験結果と比較した。

2. 室内バーンせん断試験および原位置バーンせん断試験

実験に用いた試料は、石川県北部の河北潟において、3.5m、5.5m、7.5m、9.5mの深さからシンウォール・サンプラーによって採取された海成粘土 ($PL=40\sim50\%$) である。図-1は室内バーン試験機の概要を示したもので、試料の乱れや応力解放の影響を最小限に抑えるため、試料がシンウォールチューブに入っている状態で試験を行うことができるようになっている。室内実験に用いたバーンの寸法は幅2cmで、異方性の影響を調べるために高さを1, 2, 4 cmの3種類に変えている。また、せん断速度の影響を調べるために、バーン回転速度を0.03, 0.1(標準速度), 0.3($^{\circ}/sec$)に変化させて実験を行った。原位置バーン試験には、N G I型のバーン試験機を使用し、試料採取位置と同じ深さで実験を行った。バーンの回転速度は0.02, 0.1, 0.2($^{\circ}/sec$)の3種類、またバーンの羽根の寸法は幅6.5cm、高さは13, 6.5, 4.55, 3.25cmの4種類である。

3. 非排水強度の異方性について

図-2に示すように、バーンせん断試験では、円筒形の側面と、上下水平面の2種類のせん断面がある。異方圧密された地盤ではせん断面の方向によって非排水強度が異なることが知られており、したがって、バーンの円筒形の側面と上下水平面における強度は異なる。今、それぞれの面における強度を τ_v , τ_h とすれば、バーン試験で測定されるトルクMは次式で表される²⁾。

$$\frac{2M}{\pi D^3} = \frac{H}{D} \tau_v + \frac{1}{3} \tau_h \quad (1)$$

ここで、HおよびDはバーンの幅と高さである。式(1)で、 $\tau_v = \tau_h = Cu$ とすれば、

$$Cu = \frac{2M}{\pi D^3} \left\{ \frac{H}{D} \tau_v + \frac{1}{3} \tau_h \right\} \quad (2)$$

が得られ、これはバーン試験より強度を算定するために慣用されている式である。

式(1)より、図-3に示すように、バーン試験の結果を縦軸に $2M/\pi D^3$ 、横軸

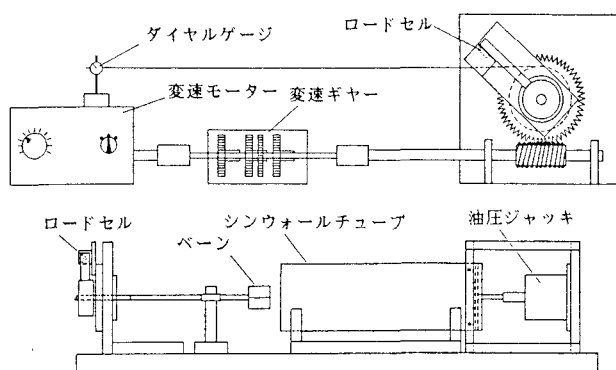


図-1 室内バーンせん断試験機

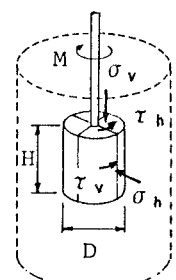


図-2 バーンのせん断面

に H/D をとってプロットすると、両者の間には直線関係があり、この直線の縦軸との切片が $\tau_h/3$ 、傾きが τ_v を表すことがわかる。表-1に、原位置および室内ペーン試験の結果から τ_h 、 τ_v を求めた結果を示す。原位置ペーン試験では、深さ5.5m、7.5mで $\tau_v/\tau_h=0.4\sim0.5$ 、深さ3.5mで $\tau_v/\tau_h=0.9$ 程度の値が得られた。この地盤は、深さ5m以下はほぼ正規圧密状態、深さ3.5mでは $OCR=3$ 程度の過圧密状態にあり、 τ_v と τ_h の比は地盤の静止土圧係数 K_0 に対応しているように思われる^{2), 3)}。一方、室内ペーン試験結果と原位置ペーン試験結果を比較すると、 τ_v はそれほど差がないのに対して、室内ペーン試験の τ_h は原位置ペーン試験の τ_h に比べてかなり小さい。これは、シンウォール・チューブによって側方が拘束されているためにペーンの円筒形側面に作用する垂直応力 σ_h (図-2参照) あまり変化しないのに対して、ペーンの上下水平面に作用する垂直応力 σ_v は応力解放の影響でかなり小さくなっているためと考えられる。

4. せん断速度の影響について

図-4は、縦軸にいろいろな回転速度におけるペーン強度を標準回転速度 ($0.1^\circ/\text{sec}$) における強度で割った値をとり、横軸に回転速度の対数をとって実験結果をプロットしたものである。この図より、ペーン強度は回転速度の対数とほぼ直線関係にあることがわかる。また、せん断速度の影響に関しては、原位置ペーン試験と室内ペーン試験で差は見られない。図-4の直線関係の勾配を α とすれば、 α はせん断速度の影響の程度を表す係数となる。図-5は、各深さにおける α を塑性指指数 P_I に対してプロットしたものである。同図には、Wiesel⁴⁾、Perlow⁵⁾が行った実験を同様に整理した結果も示しているが、 α は塑性指指数とともに大きくなる傾向が見られ、塑性指指数が大きいほどせん断速度の影響が大きいことがわかる。

参考文献

- 1) Bjerrum : Proc. 8th ICSMFE, Vol.3, 1972
- 2) 柴田 : 土木学会論文報告集, No.139, 1967
- 3) 藤田・畠・西原 : 第37回土木学会講演集, 1982
- 4) Wiesel : Proc. 8th ICSMFE, Vol.1-2, 1973
- 5) Perlow, Richards : Proc. ASCE, Vol.103, GT1, 1977

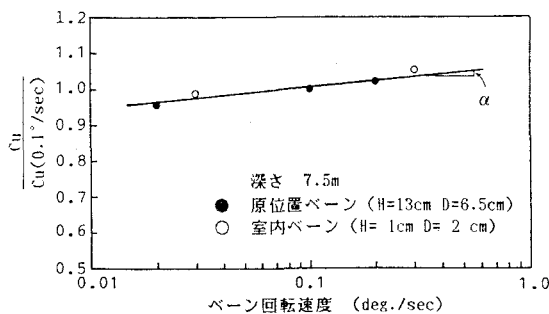


図-4 ペーン強度と回転速度の関係

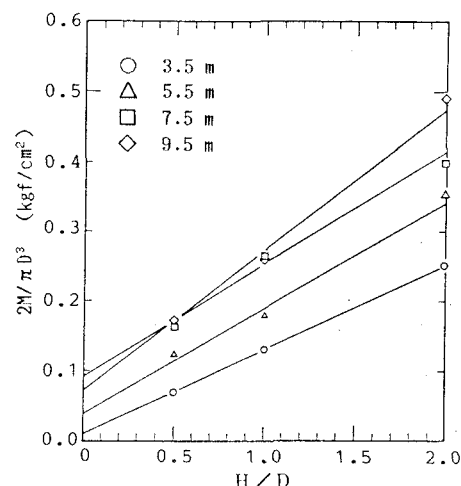


図-3 $2M/\pi D^3 \sim H/D$ 関係 (室内試験)

表-1 τ_v と τ_h の測定結果

	測定深度	τ_h	τ_v	τ_h/τ_v
原位 置	3.5 m	0.18	0.16	0.89
	5.5 m	0.32	0.17	0.53
	7.5 m	0.48	0.19	0.40
室内	3.5 m	0.03	0.12	4.00
	5.5 m	0.12	0.15	1.27
	7.5 m	0.27	0.17	0.61
	9.5 m	0.21	0.20	0.96

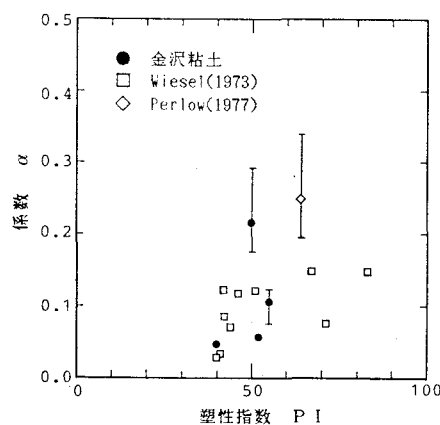


図-5 α と塑性指指数の関係